

Ein und Ausgabe:

Farbmetrisches Offset-Reflektiv-System ORS20_95a

Daten für jede Farbe:

u^* und Nummer $Nr.$ = 00 .. 15

Elementar-Bunttontext nach CIE R1-47:2009

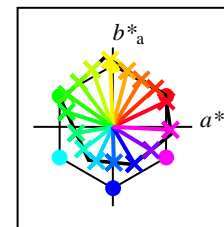
u^* 16 Bunttöne $r00j$, $r25j$, ..., $b75r$

Experimentelle Bewertung der relativen Buntheit c^* und der relativen Schwarzhheit n^* der 16

**RECS-Farbmuster. Vergleich mit der Farbe X
von maximaler Buntheit $c^*=1$ und $n^*=0$ im Gedächtnis**

ORS20_95a; adaptierte CIELAB-Daten

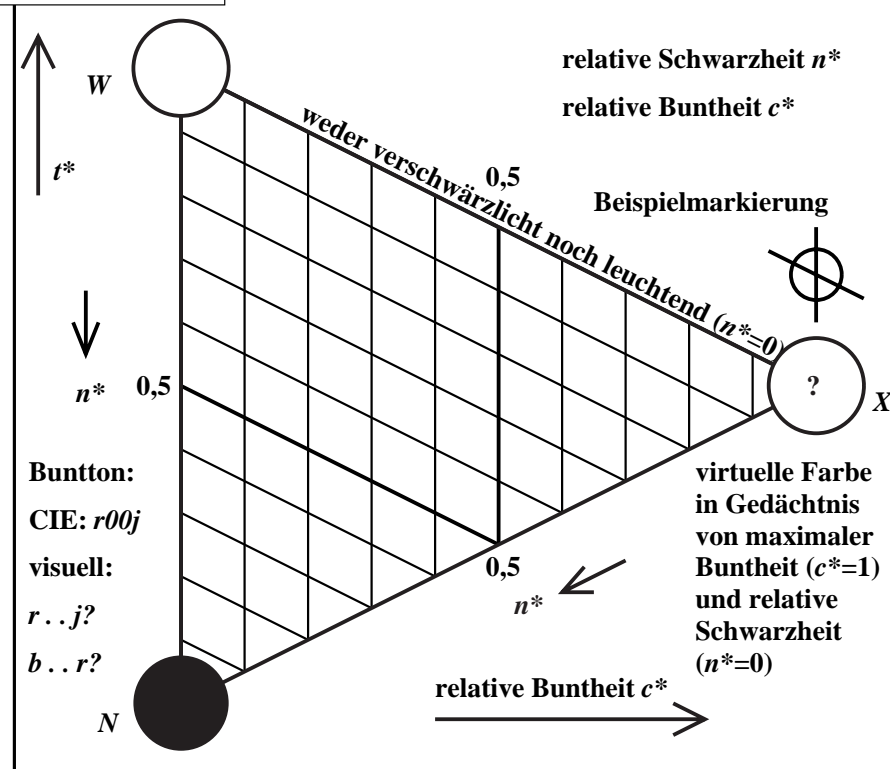
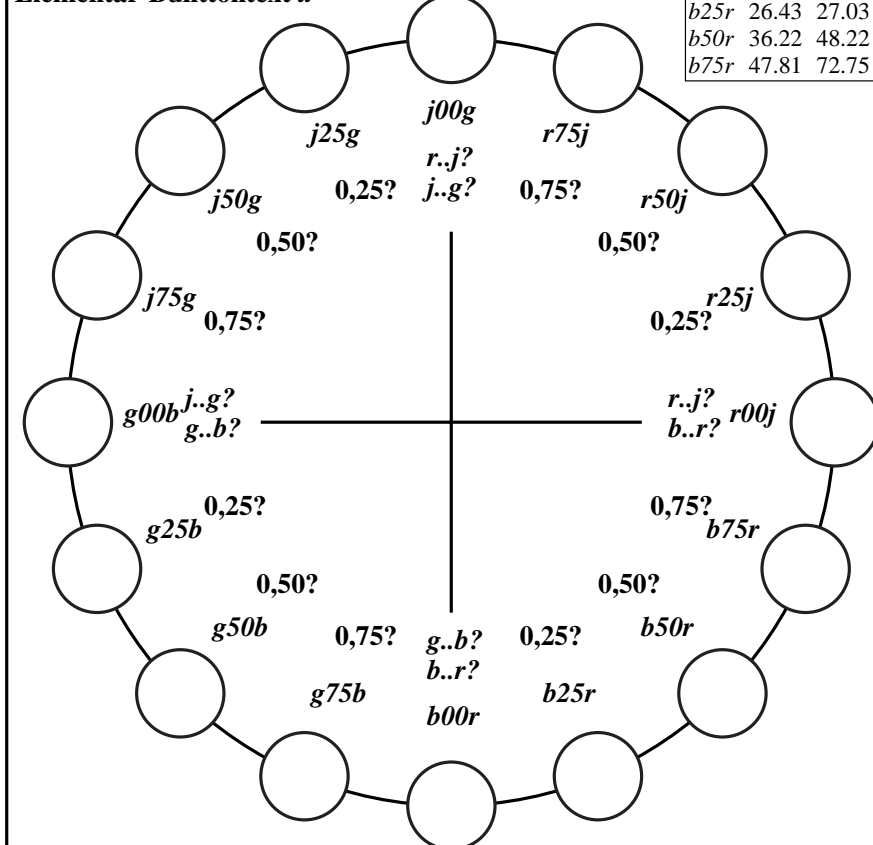
u^*	$L^*=L_a^*$	a_a^*	b_a^*	$C_{ab,a}^*$	$h_{ab,a}^*$	d^*
$r00j$	47.06	67.41	32.12	74.67	25	$m84o$
$r25j$	53.95	53.38	48.38	72.04	42	$o17y$
$r50j$	63.6	35.87	59.45	69.43	59	$o42y$
$r75j$	73.37	18.14	70.66	72.95	76	$o68y$
$j00g$	85.24	-3.4	84.28	84.35	92	$o93y$
$j25g$	78.53	-25.99	72.23	76.76	110	$y24l$
$j50g$	68.25	-42.61	56.0	70.37	127	$y55l$
$j75g$	58.73	-57.99	40.99	71.02	145	$y85l$
$g00b$	55.66	-58.35	18.71	61.27	162	$l12c$
$g25b$	58.18	-46.2	-7.82	46.86	190	$l45c$
$g50b$	60.08	-37.02	-27.87	46.34	217	$l78c$
$g75b$	55.21	-20.63	-42.98	47.67	244	$c16v$
$b00r$	41.38	1.37	-45.05	45.07	272	$c58v$
$b25r$	26.43	27.03	-46.5	53.78	300	$v03m$
$b50r$	36.22	48.22	-29.42	56.48	329	$v54m$
$b75r$	47.81	72.75	-3.76	72.85	357	$m10o$



ORS20_95a; adaptierte CIELAB-Daten

Name	$L^*=L_a^*$	a_a^*	b_a^*	$C_{ab,a}^*$	$h_{ab,a}^*$	d^*
O_{Ma}	46.89	66.19	40.28	77.48	31	
Y_{Ma}	88.66	-9.62	88.21	88.73	96	
L_{Ma}	54.22	-65.29	33.87	73.56	153	
C_{Ma}	61.43	-30.53	-42.04	51.96	234	
V_{Ma}	25.93	25.95	-47.37	54.01	299	
M_{Ma}	47.92	73.53	-9.02	74.08	353	
N_{Ma}	20.41	0.0	0.0	0.0	0	
W_{Ma}	94.64	0.0	0.0	0.0	0	
R_{CIE}	39.92	58.74	27.99	65.07	25	
J_{CIE}	81.26	-2.89	71.56	71.62	92	
G_{CIE}	52.23	-42.42	13.6	44.55	162	
B_{CIE}	30.57	1.41	-46.47	46.49	272	

Elementar-Bunttontext u^*



IG120-7N, 1, Es wird empfohlen, die Maske IG120-7X.PDF mit 16 Löchern auf die 16 Farbmuster des RECS-Bunttonkreises zu plazieren und das Formular IG140-7X.PDF zur visuellen Beurteilung zu benutzen

Ein und Ausgabe:

Farbmetrisches Offset-Reflektiv-System ORS20_95a

Daten für jede Farbe:

u^* und Nummer $Nr.$ = 00 .. 15

Elementar-Bunttontext nach CIE R1-47:2009

u^* 16 Bunttöne $r00j$, $r25j$, ..., $b75r$

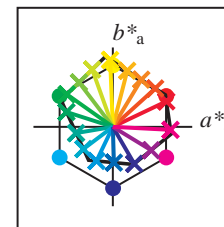
Kontrastreduzierungsfaktor:

$c_R = 1.0$

Die kreisförmigen Farben des RECS-Farbatlas werden durch die Lochmaske gesehen, siehe Seite 1

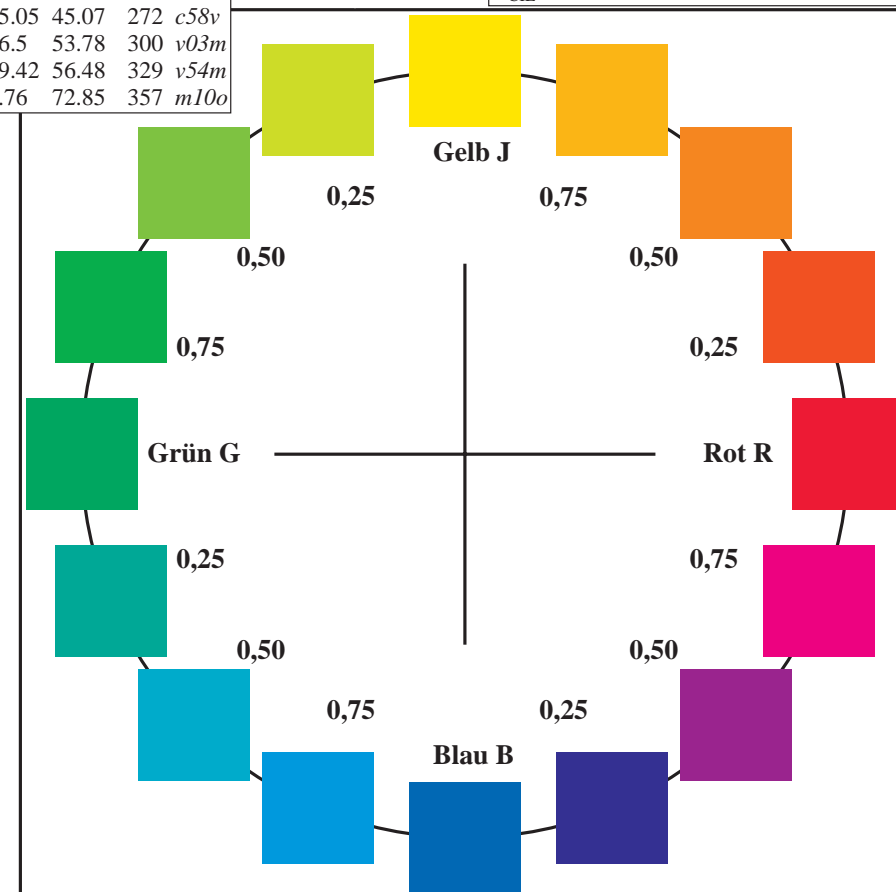
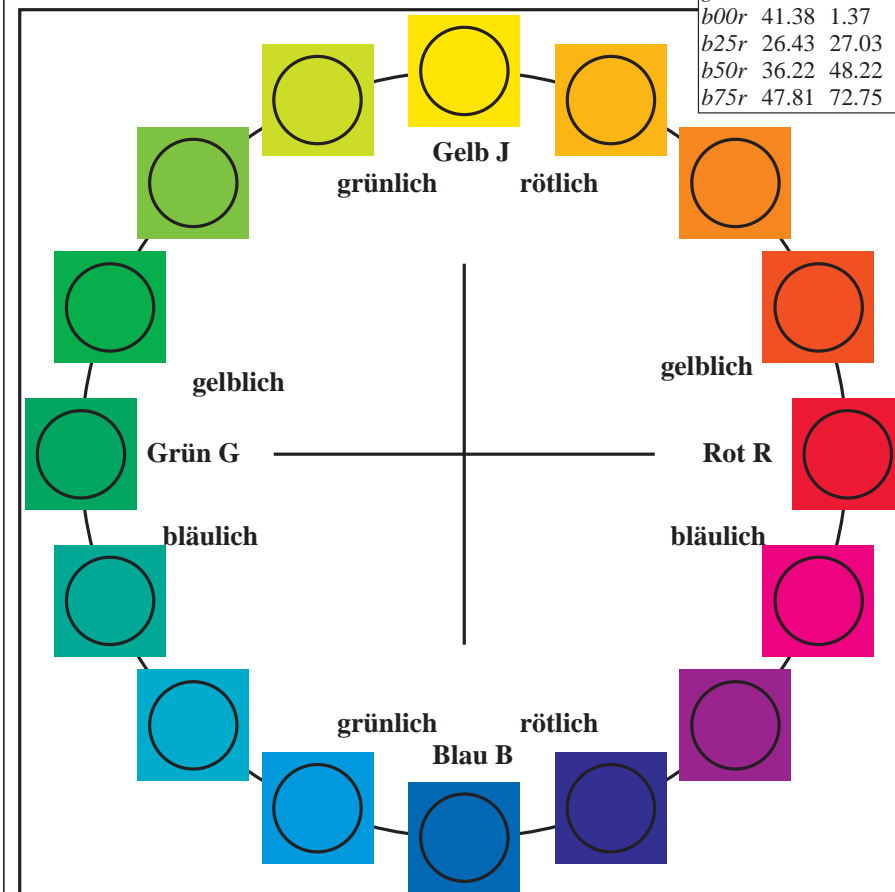
ORS20_95a; adaptierte CIELAB-Daten

	u^*	$L^*=L^*_a$	a^*_a	b^*_a	$C^*_{ab,a}$	$h^*_{ab,a}$	d^*
$r00j$	47.06	67.41		32.12	74.67	25	$m84o$
$r25j$	53.95	53.38		48.38	72.04	42	$o17y$
$r50j$	63.6	35.87		59.45	69.43	59	$o42y$
$r75j$	73.37	18.14		70.66	72.95	76	$o68y$
$j00g$	85.24	-3.4		84.28	84.35	92	$o93y$
$j25g$	78.53	-25.99		72.23	76.76	110	$y24l$
$j50g$	68.25	-42.61		56.0	70.37	127	$y55l$
$j75g$	58.73	-57.99		40.99	71.02	145	$y85l$
$g00b$	55.66	-58.35		18.71	61.27	162	$l12c$
$g25b$	58.18	-46.2		-7.82	46.86	190	$l45c$
$g50b$	60.08	-37.02		-27.87	46.34	217	$l78c$
$g75b$	55.21	-20.63		-42.98	47.67	244	$c16v$
$b00r$	41.38	1.37		-45.05	45.07	272	$c58v$
$b25r$	26.43	27.03		-46.5	53.78	300	$v03m$
$b50r$	36.22	48.22		-29.42	56.48	329	$v54m$
$b75r$	47.81	72.75		-3.76	72.85	357	$m10o$



ORS20_95a; adaptierte CIELAB-Daten

Name	$L^*=L^*_a$	a^*_a	b^*_a	$C^*_{ab,a}$	$h^*_{ab,a}$
O_{Ma}	46.89	66.19	40.28	77.48	31
Y_{Ma}	88.66	-9.62	88.21	88.73	96
L_{Ma}	54.22	-65.29	33.87	73.56	153
C_{Ma}	61.43	-30.53	-42.04	51.96	234
V_{Ma}	25.93	25.95	-47.37	54.01	299
M_{Ma}	47.92	73.53	-9.02	74.08	353
N_{Ma}	20.41	0.0	0.0	0.0	0
W_{Ma}	94.64	0.0	0.0	0.0	0
R_{CIE}	39.92	58.74	27.99	65.07	25
J_{CIE}	81.26	-2.89	71.56	71.62	92
G_{CIE}	52.23	-42.42	13.6	44.55	162
B_{CIE}	30.57	1.41	-46.47	46.49	272



Ein und Ausgabe:

Farbmetrisches Offset-Reflektiv-System ORS20_95a

Daten für jede Farbe:

u^* und Nummer $Nr. = 00 \dots 15$

Elementar-Bunttontext nach CIE R1-47:2009

u^* 16 Bunttöne $r00j$, $r25j$, ..., $b75r$

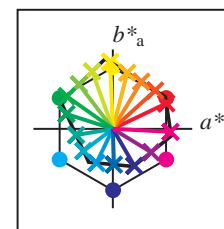
Kontrastreduzierungsfaktor:

$c_R = 1.0$

Verschiedene Koordinaten des RECS-Farbatlas werden gezeigt, siehe unten

ORS20_95a; adaptierte CIELAB-Daten

u^*	$L^* = L_a^*$	a_a^*	b_a^*	$C_{ab,a}^*$	$h_{ab,a}^*$	d^*
$r00j$	47.06	67.41	32.12	74.67	25	$m84o$
$r25j$	53.95	53.38	48.38	72.04	42	$o17y$
$r50j$	63.6	35.87	59.45	69.43	59	$o42y$
$r75j$	73.37	18.14	70.66	72.95	76	$o68y$
$j00g$	85.24	-3.4	84.28	84.35	92	$o93y$
$j25g$	78.53	-25.99	72.23	76.76	110	$y24l$
$j50g$	68.25	-42.61	56.0	70.37	127	$y55l$
$j75g$	58.73	-57.99	40.99	71.02	145	$y85l$
$g00b$	55.66	-58.35	18.71	61.27	162	$l12c$
$g25b$	58.18	-46.2	-7.82	46.86	190	$l45c$
$g50b$	60.08	-37.02	-27.87	46.34	217	$l78c$
$g75b$	55.21	-20.63	-42.98	47.67	244	$c16v$
$b00r$	41.38	1.37	-45.05	45.07	272	$c58v$
$b25r$	26.43	27.03	-46.5	53.78	300	$v03m$
$b50r$	36.22	48.22	-29.42	56.48	329	$v54m$
$b75r$	47.81	72.75	-3.76	72.85	357	$m10o$



ORS20_95a; adaptierte CIELAB-Daten

Name	$L^* = L_a^*$	a_a^*	b_a^*	$C_{ab,a}^*$	$h_{ab,a}^*$
O_{Ma}	46.89	66.19	40.28	77.48	31
Y_{Ma}	88.66	-9.62	88.21	88.73	96
L_{Ma}	54.22	-65.29	33.87	73.56	153
C_{Ma}	61.43	-30.53	-42.04	51.96	234
V_{Ma}	25.93	25.95	-47.37	54.01	299
M_{Ma}	47.92	73.53	-9.02	74.08	353
N_{Ma}	20.41	0.0	0.0	0.0	0
W_{Ma}	94.64	0.0	0.0	0.0	0
R_{CIE}	39.92	58.74	27.99	65.07	25
J_{CIE}	81.26	-2.89	71.56	71.62	92
G_{CIE}	52.23	-42.42	13.6	44.55	162
B_{CIE}	30.57	1.41	-46.47	46.49	272

